

## 低氧诱导因子HIF-1 $\alpha$ 调控CX3CR1在胰腺癌细胞中的表达\*

刘俊秀 赵天锁 贾玲玲 张圣杰 赵 潇 孙军伟 张 欢 任 贺  
郝继辉

**摘要** 目的:以胰腺癌细胞株 Patu8988 为研究对象,通过过表达和干扰低氧诱导因子(HIF-1 $\alpha$ ),观察CX3CR1表达水平的变化,并探讨CX3CR1在胰腺癌中的调控机制。方法:分别构建pcDNA3.1-HIF-1 $\alpha$ 过表达质粒和HIF-1 $\alpha$ -siRNA,转染胰腺癌细胞株 Patu8988,经 Western blot、半定量PCR检测CX3CR1的表达情况。采用染色质免疫沉淀(chromatin immunoprecipitation, ChIP)、荧光素酶技术探查HIF-1 $\alpha$ 与CX3CR1启动子区的结合情况。结果:Patu8988转染pcDNA3.1-HIF-1 $\alpha$ 后CX3CR1的表达增加,敲除HIF-1 $\alpha$ 后CX3CR1的表达减少。HIF-1 $\alpha$ 与CX3CR1启动子区的低氧反应元件直接结合,并上调CX3CR1启动子的活性( $P<0.01$ )。结论:HIF-1 $\alpha$ 调控CX3CR1在胰腺癌细胞中的表达。

**关键词** HIF-1 $\alpha$  CX3CR1 胰腺癌

doi:10.3969/j.issn.1000-8179.2013.04.002

### Regulation of CX3CR1 expression in pancreatic cancer cells by hypoxia inducible factor 1 $\alpha$

Junxiu LIU, Tiansuo ZHAO, Lingling JIA, Shengjie ZHANG, Xiao ZHAO, Junwei SUN, Huan ZHANG, He REN, Jihui HAO

Correspondence to: Jihui HAO; E-mail: jihuihao@yahoo.com

Department of Pancreatic Cancer, Tianjin Medical University Cancer Institute and Hospital, Key Laboratory of Cancer Prevention and Treatment of Tianjin City, Tianjin 300060, China

This study was supported by the Municipal Natural Science Foundation of Tianjin (Grant No.10JCZDJC 20200)

**Abstract Objective:** This study aimed to investigate the effect of hypoxia inducible factor 1 $\alpha$  (HIF-1 $\alpha$ ) expression on CX3CR1 and its regulatory mechanism in pancreatic cancer cell line Patu8988. **Methods:** The highly expressed plasmid pcDNA3.1 HIF-1 $\alpha$  and siRNA HIF-1 $\alpha$  were initially constructed. After the plasmid was separately transfected to the pancreatic cancer cells, CX3CR1 and HIF-1 $\alpha$  expressions were assayed by western blot analysis and real-time quantitative reverse transcriptase-polymerase chain reaction. The relationship between HIF-1 $\alpha$  and CX3CR1 promoter was determined by chromatin immunoprecipitation and luciferase technology. **Results:** The overexpressed HIF-1 $\alpha$  could upregulate the CX3CR1 expression in pancreatic cancer cells. The CX3CR1 expression was significantly reduced when HIF-1 $\alpha$  was knocked down. Chromatin immunoprecipitation assay demonstrated that HIF-1 $\alpha$  could be directly bound to the hypoxia-response element (5'-A/GCGTG-3') of the CX3CR1 promoter. This binding activity was significantly enhanced under hypoxic condition. CX3CR1 promoter-induced HIF-1 $\alpha$  overexpression could significantly upregulate the expression of luciferase reporter genes in pancreatic cancer cells ( $P<0.01$ ). **Conclusion:** HIF-1 $\alpha$  could regulate CX3CR1 expression in pancreatic cancer cells.

**Keywords:** hypoxia inducible factor 1 $\alpha$ , CX3CR1, pancreatic cancer

胰腺癌是一种主要来源于胰腺导管细胞的恶性肿瘤,其恶性程度极高,早期即可发生局部浸润和转移,5年生存率 $<5\%$ <sup>[1]</sup>。尽管目前手术、放化疗以及新辅助治疗取得很大进展,但是胰腺癌的中位生存期和5年生存率仍未得到较大的改善。近些年我国胰腺癌的发病率也逐渐升高,神经痛是胰腺癌的常见

症状<sup>[2]</sup>,严重影响了人类的健康。

HIF-1 $\alpha$ 在胰腺导管腺癌中高表达<sup>[3]</sup>,同时CX3CR1也在胰腺导管腺癌中有表达<sup>[4]</sup>。通过对人类CX3CR1基因5'端旁侧区的基因组DNA片段筛选,发现了8个低氧反应元件(HREs: 5'-A/GCGTG-3'),这表明CX3CR1可能是HIF-1 $\alpha$ 的一个潜在的靶点。

作者单位:天津医科大学附属肿瘤医院胰腺肿瘤科,天津市肿瘤防治重点实验室(天津市300060)

\*本文课题受天津市自然科学基金(编号:10JCZDJC 20200)资助

通信作者:郝继辉 jihuihao@yahoo.com

本研究拟以胰腺癌细胞株 Patu8988 为研究对象,明确 HIF-1 $\alpha$  对胰腺癌细胞表达 CX3CR1 的影响。

## 1 材料与方法

### 1.1 主要试剂

DMEM 培养基购自 Hyclone 公司;胎牛血清购自 Gibco 公司;各种 PCR 引物由上海生物工程有限公司提供;Trizol 液、脂质体购自 Invitrogen 公司;M-MLV 逆转录试剂盒购自大连宝生物工程有限公司;HIF-1 $\alpha$  小干扰 RNA (siHIF1 $\alpha$ ) 由广州锐博生物有限公司设计合成, pcDNA3.1-HIF-1 $\alpha$  过表达质粒自备;抗体 HIF-1 $\alpha$  购自 Santa Cruz (sc-13515) 公司, CX3CR1 购自 Abcam (ab8021) 公司,  $\beta$ -actin 购自 Santa Cruz (sc-47778), CX3CR1-FITC 购自 Biolegend 公司;CHIP 试剂盒购自 Upstate Biotechnology。

胰腺癌细胞系 Patu8988 由东南大学提供, 37 $^{\circ}$ C、5%CO<sub>2</sub> 饱和湿度条件下培养、传代, 实验用对数生长期细胞, 台盼蓝拒染率在 95% 以上。转染时, 细胞铺于 6 孔板, 5 $\times$ 10<sup>5</sup> 个/孔, 待细胞长满 80% 时, 通过脂质体将 siHIF-1 $\alpha$  或 pcDNA3.1-HIF-1 $\alpha$  过表达质粒转染到细胞中, 48 h 后收集细胞用于后续实验。

### 1.2 实验方法

Western blot 检测蛋白表达: 目的细胞经 PBS 清洗, 加入含有蛋白酶抑制剂 (Sigma) 的 SDS 裂解细胞, 沸水浴 10 min, 离心, 经蛋白定量试剂盒 (Pierce) 定量后, 每孔上样 20  $\mu$ g 于 SDS-PAGE, 以  $\beta$ -actin 为内参, 使用相应的抗体检测目的蛋白, ECL 法曝光显像。

半定量 PCR: TRIzol 法抽提细胞 RNA。取 1  $\mu$ g 总 RNA, 逆转录得到 cDNA。取 cDNA 2  $\mu$ L 作为模板直接用于普通 PCR 扩增, 反应体系 (25  $\mu$ L) 为 premix 12.5  $\mu$ L, cDNA 2  $\mu$ L, 上下引物各 1  $\mu$ L, DEPC 水 8.5  $\mu$ L。反应程序: 95 $^{\circ}$ C 5min; 95 $^{\circ}$ C 30 s, 55~60 $^{\circ}$ C 1 min, 72 $^{\circ}$ C 1 min, 26 个循环; 72 $^{\circ}$ C 10 min。PCR 产物琼脂糖凝胶电泳。图像采集, 结果分析。

ChIP: Patu8988 细胞在低氧 (1%O<sub>2</sub>) 及常氧 (21% O<sub>2</sub>) 条件下的染色体免疫共沉淀, 根据所购试剂盒说明书操作, 以 VEGF 启动子引物为阳性对照。启动子区 PCR 引物: CX3CR1: 5'-ATTACAGCAGATATAGGGCAGACAGTCAGCTCTCATTAAATG-3'; VEGF: 5'-GCCTCTGTCTGCCAGCTGCGTGGAGCTGAGAACGGGAAGC-3'。通过 anti-HIF-1 $\alpha$  抗体拉下染色体片段, 检测 CX3CR1 启动子。

荧光素酶实验: 为了验证 HIF-1 $\alpha$  与 CX3CR1 启动子的结合是否能够将其激活, 本研究构建了全长的 CX3CR1 荧光素酶启动子载体, 共转染 pGL3-CX3CR1 和 pcDNA3.1-HIF-1 $\alpha$  质粒到 Patu8988 细胞系中。活性经双荧光素酶报告系统 (Promega) 测定。

### 1.3 统计学方法

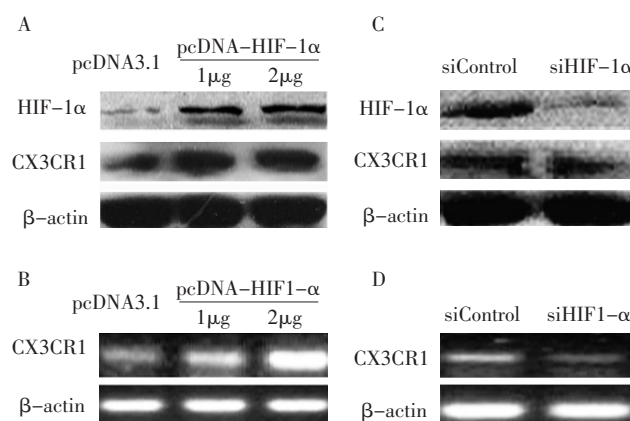
数据用 SPSS17.0 统计软件分析, 重复 3 次独立实验, 数值以 mean $\pm$ SD 表示,  $P < 0.05$  为差异有统计学意义。

## 2 结果

### 2.1 HIF-1 $\alpha$ 直接调控 CX3CR1 的表达

为阐明 HIF-1 $\alpha$  在 CX3CR1 表达中的作用, 研究通过转染 pcDNA3.1-HIF-1 $\alpha$  质粒到胰腺癌细胞系 Patu8988 上调 HIF-1 $\alpha$  的表达, 48 h 后检测。Western blot 结果显示 CX3CR1 的蛋白水平的表达显著增加, 半定量 PCR 显示 CX3CR1 mRNA 表达水平较对照组明显增高 (图 1A, B)。

经 siHIF-1 $\alpha$  转染 Patu8988 胰腺癌细胞以抑制 HIF-1 $\alpha$  的表达, 48h 后 Western blot 结果显示 CX3CR1 表达水平较对照组明显降低, 半定量 PCR 显示 CX3CR1 mRNA 表达水平较对照组明显减少 (图 1C, D)。



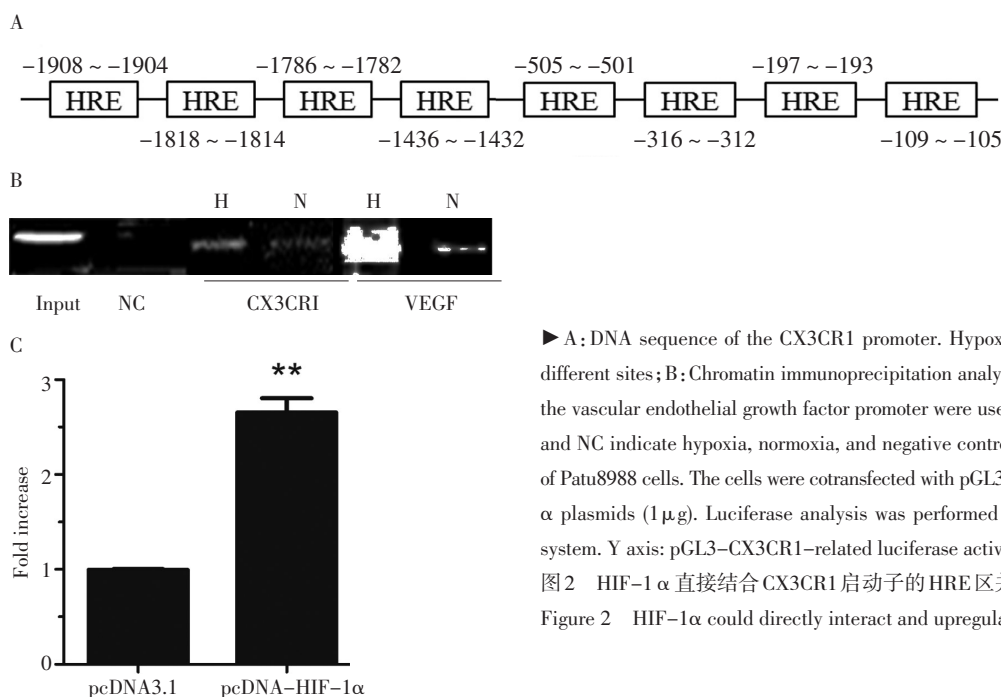
A: Patu8988 cells transfected with pcDNA3.1 HIF-1 $\alpha$  plasmids (1  $\mu$ g, 2  $\mu$ g) and assessed by Western blot analysis after 48 h; B: Patu8988 cells transfected with pcDNA3.1 HIF-1 $\alpha$  plasmids (1  $\mu$ g, 2  $\mu$ g) and assessed by semi-quantitative PCR after 48 h; C: Patu8988 cells transfected with siHIF-1 $\alpha$  (50 nM) and assessed by Western blot analysis after 48 h; D: Patu8988 cells transfected with siHIF-1 $\alpha$  (50 nM) and assessed by semi-quantitative PCR after 48 h

图1 过表达和干扰 HIF-1 $\alpha$  前后 CX3CR1 的表达变化

Figure 1 Changes in CX3CR1 before and after pcDNA3.1 HIF-1 $\alpha$  or si-HIF-1 $\alpha$  was overexpressed and transfected

### 2.2 HIF-1 $\alpha$ 直接作用于 CX3CR1 启动子, 并上调 CX3CR1 启动子的活性

通过对基因组 DNA CX3CR1 基因 5'-旁侧区的筛选, 研究发现了 8 个潜在的 HIF-1 结合区 (图 2A)。Patu8988 细胞系在低氧及常氧条件下的染色体免疫共沉淀证实了细胞中 HIF-1 $\alpha$  与 CX3CR1 启动子的结合, 且在低氧条件下二者的结合显著增加 (图 2B)。荧光素酶报告分析显示过表达 HIF-1 $\alpha$  能够显著地增加 CX3CR1 启动子的活性, 是对照组的 2.8 倍 ( $P = 0.007$ , 图 2C)。



▶ A: DNA sequence of the CX3CR1 promoter. Hypoxia-response elements were located at different sites; B: Chromatin immunoprecipitation analysis of Patu8988 cells. PCR products of the vascular endothelial growth factor promoter were used as the positive control sample. H, N, and NC indicate hypoxia, normoxia, and negative control, respectively; C: Luciferase analysis of Patu8988 cells. The cells were cotransfected with pGL3-CX3CR1 (1 μg) and pcDNA3.1 HIF-1 α plasmids (1 μg). Luciferase analysis was performed with a dual-luciferase reporter assay system. Y axis: pGL3-CX3CR1-related luciferase activity. \*\*P<0.01 versus the control group  
 图2 HIF-1α 直接结合 CX3CR1 启动子的 HRE 区并上调其活性  
 Figure 2 HIF-1α could directly interact and upregulate CX3CR1 promoter activity

### 3 讨论

CX3CR1 在造血细胞<sup>[5]</sup>、前列腺癌<sup>[6]</sup>、乳腺癌<sup>[7]</sup>和胰腺导管腺癌<sup>[4]</sup>中均有表达。CX3CR1 的唯一配体趋化因子 CX3CL1<sup>[8-9]</sup>是一种在神经元和活化的内皮细胞的膜上表达的可溶性的趋化因子<sup>[10-11]</sup>,在神经元与小胶质细胞的交互中发挥着重要的作用<sup>[12]</sup>。近期的研究显示,CX3CL1/CX3CR1 轴能够调节黏附、迁移,与肿瘤的神经浸润状态密切相关<sup>[13]</sup>。

本实验中发现 CX3CR1 在胰腺癌细胞中高表达。敲除 HIF-1α 能够减少 CX3CR1 的表达,而过表达 HIF-1α 则能够上调 CX3CR1。可见 HIF-1α 与 CX3CR1 的表达密切相关。

HIF-1α 在许多肿瘤中过度表达,并与血管生成、细胞代谢、侵袭和转移等密切相关。常氧下胰腺癌细胞表达 HIF-1α,在低氧状态下其表达增高<sup>[3]</sup>。HIF 在调控低氧相关基因中发挥重要作用<sup>[14]</sup>。作为转录因子,HIF-1α 通过激活下游靶基因发挥生物学作用。通过染色体免疫共沉淀和双荧光素酶实验分析,发现 HIF-1α 直接与 CX3CR1 启动子 HREs 区结合,上调 CX3CR1 的转录。进一步证明了 HIF-1α 可以调控 CX3CR1 在胰腺癌细胞中的表达。

HIF-1α 是否能够通过 CX3CR1 影响胰腺癌细胞的生物学功能,将在以后的实验中作进一步的研究证实。此外,作为胰腺神经浸润的重要细胞因子受体,CX3CR1 可由树突细胞、自然杀伤细胞、巨噬细胞、单核细胞产生,且 CX3CR1 还与一些免疫相关疾病有关,那么 HIF-1α 是否介导了免疫细胞中 CX3CR1 的表达仍值得进一步研究。

目前已发现多种 HIF-1α 抑制剂<sup>[15]</sup>,相比于针对某种特定的趋化因子,杀死 HIF-1α 阳性的癌细胞可能会更好地限制胰腺癌的侵袭发展。

#### 参考文献

- 1 Siegel R, Naishadham D, Jemal A. Cancer statistics, 2012[J]. CA Cancer J Clin, 2012, 62(1):10-29.
- 2 Gao YJ, Ji RR. Chemokines, neuronal-glial interactions, and central processing of neuropathic pain[J]. Pharmacol Ther, 2010,126(1): 56-68.
- 3 Zhao T,Gao S,Wang X, et al. Hypoxia-inducible factor-1α regulates chemotactic migration of pancreatic ductal adenocarcinoma cells through directly transactivating the CX3CR1 gene[J]. PLoS One, 2012,7(8):e43399.
- 4 Marchesi F, Piemonti L, Fedele G, et al. The chemokine receptor CX3CR1 is involved in the neural tropism and malignant behavior of pancreatic ductal adenocarcinoma[J]. Cancer Res, 2008, 68(21): 9060-9069.
- 5 Imai T, Hieshima K, Haskell C, et al. Identification and molecular characterization of fractalkine receptor CX3CR1, which mediates both leukocyte migration and adhesion[J]. Cell, 1997,91(4): 521-530.
- 6 Liebig C, Ayala G, Wilks JA, et al. Perineural invasion in cancer: a review of the literature[J]. Cancer,2009,115(15):3379-3391.
- 7 Jamieson-Gladney WL, Zhang Y, Fong AM, et al. The chemokine receptor CX3CR1 is directly involved in the arrest of breast cancer cells to the skeleton[J]. Breast Cancer Res, 2011, 13(5):R91.
- 8 Bazan JF, Bacon KB, Hardiman G, et al. A new class of membrane-bound chemokine with a CX3C motif[J]. Nature, 1997,385(6617):640-644.
- 9 Pan Y, Lloyd C, Zhou H, et al. Neurotactin, a membrane-anchored chemokine upregulated in brain inflammation[J]. Nature, 1997,387(6633):611-617.